

N-Hal

NO<sub>2</sub>F, NO<sub>2</sub>Cl, COH<sub>2</sub>    X-768a    1962

CO<sub>2</sub>, CS<sub>2</sub> (cav. no cr. S°, C<sub>p</sub>)

Venkateswaran K., Rajalakshmi K.V.

Urey-bradley force field and  
thermodynamic properties: planar  
 $XZ_2$  type molecules.

Acta phys. polon., 1962, 22, N5,

● 417-421.

1966

Occur zanoremeds

0309a

Vibrational spectra of some nitrogen oxyhalides. Robert  
Hassler Miller (Pennsylvania State Univ., University Park).  
Univ. Microfilms (Ann Arbor, Mich.), Order No. 66-4832, 120 pp.;  
Dissertation Abstr. 26(11), 6393-4(1966)(Eng). SNDC

C.A. 1966. 65:6

3909a

1987

9 Д228. ИК-спектры изотопных галогенидов нитрила.  
Bennett D. L., Miller R. H., Hisatsune I. C.  
Infrared spectra of isotopic nitryl halides. «Spectrochim. acta», 1967, A 23, № 2, 237—248 (англ.)

Исследованы ИК-спектры  $N^{14}$  и  $15$  изотопных соединений нитрилхлорида и нитрилфторида в газообразном и твердом состояниях. Внесены изменения в отнесение, сделанное ранее. Оказалось, что полоса при  $460 \text{ см}^{-1}$ , ранее приписанная колебанию фторида, обусловлена загрязнениями. На основе силового поля Юри — Брэдли, а также валентного силового поля рассчитаны термодинамич. и силовые постоянные. Библ. 23.

09.1987.92

<sup>14</sup>No<sub>2</sub> Flal

<sup>15</sup>No<sub>2</sub> Flal

UL-CHEM

UN. MEET.

70471r Infrared spectra of isotopic halogen nitrates. Robert H. Miller, Daniel L. Bennett, and Isamu C. Hisatsune (Pennsylvania State Univ., University Park). *Spectrochim. Acta* 23A(2), 223-36(1967)(Eng). The ir spectra of halogen nitrates contg. <sup>14</sup>N and <sup>15</sup>N have been investigated in the gas and solid phases. All 9 fundamentals, including 2 previously unobserved ones, have been identified in the spectrum of F nitrate. In Cl nitrate one of the 2 previously unobserved fundamentals has been assigned, but the 2nd fundamental could not be observed. This frequency was therefore estd. from combination bands. Thermodynamic properties, barriers to internal rotation, and valence force consts. for the halogen nitrates have been computed. 33 references.

RCSQ

C.A. 1987: 66:16

N-Hal

Rapree O.T.

1968

*N-O-Hal*

Demarest M.E.

Последние изображают собой  
несколько симметрических геометрических  
моделей  $MX'X^+$ ,  $MX''X'''X^+$ ,  $MYX^+$ ,  
 $MX'X''X'''X^+$ ,  $MYX'X^+$ ,  $MYY^+$ , где  
 $X = F, Cl, Br, I, CH_3$ ;  $Y = O, S, Se, \dots$   
(алк. B-Hal)  $\overline{\Psi}$

N-O-Hal

Cit. ka 05.

geograph.  
astron.  
taed.

Baran En. 4

1970

Z. Naturforsch A, 1970,

25, (8/9), 1992.

(Cit. P-O-Hal) III

$\Sigma XY_2$	TOK	$u(XY)$	$u(XZ)$	$u(Y..Y)$	$u(Y..Z)$
$FN_0g$	298,2	A 0,0380	0,0481	0,055	0,059
	B	0,0376	—	0,058	—
	C	0,0381	0,0498	—	0,053
	A	0,0389	0,0472	0,052	0,055
	B	0,0376	—	0,053	—
	C	0,0381	0,0489	—	0,051
$CE_0g$	298,2	A 0,0388	0,0484	0,056	0,063
	B	0,0384	—	0,062	—
	C	0,0390	0,0452	—	0,062
	D	A 0,0387	0,0425	0,053	0,055
	E	0,0384	( ) —	0,056	—
	F	0,0389	0,0443	—	0,054

N-Hab

Potts A.W. et al. 1870

0001031.  
checkp

Phil. Trans. Roy. Soc.  
London, A 268, N 1184,  
59-76.

(acc. B-Hab) III

N-Hal

Radom Z., et al. 1971

и в физико-хим.  
исслед.  
законч. оп.

кб-сек  
расчет

J. Amer. Chem. Soc.,  
1971, 93, n 2, 289.



(Ces. C-N) III

Lavoisier's azoma  
Lugwig's azoma

1975

48522n Bond angles in halides and hydrides of nitrogen and oxygen. Glidewell, C. (Chem. Dep., Univ. St. Andrews, St. Andrews/Fife, Scot.). *Inorg. Nucl. Chem. Lett.* 1975, 11(5), 353-7 (Eng). A no. of mol. geometries are rationalized using a hard-atom model, somewhat similar to that used with such conspicuous success in describing the structures of simple ionic compds. in the solid state. The examples are sufficient to indicate that factors other than electron-pair repulsions may be important in detg. the structures of simple inorg. derivs. of 1st-row elements, and that a reappraisal, in light of the steric model, of the present dominating position of the valence-shell electron-pair repulsion method as a guide to mol. geometry may be appropriate.

(+3)

☒

OKUOKI 260725  
Lugwig's KUCCOFOGJ.

C.A. 1975, 83 n6

H-220002261. L'Amphiie N.

1977

88: 43357f Hydrogen halide, molecular nitrogen double doping experiments in monatomic matrixes: Near infrared spectra and symmetry properties of the intermolecular potential. Maillard, D.; Schriver, A.; Perchard, J. P.; Girardet, C.; Robert, D. (Lab. Spectrochim. Mol., Univ. Pierre et Marie Curie, Paris, Fr.). *J. Chem. Phys.* 1977, 67(9), 3917-35 (Eng). The IR spectra of monomeric and dimeric hydrogen halides trapped in mixed N-rare gas matrices were recorded for various N-rare gas ratios. The anal. of the displacement of the monomer and dimer band frequencies strongly suggests the formation of HX-N<sub>2</sub> aggregates inside the monat. crystal when varying this ratio from pure rare gas to pure N. A convenient anal. form is proposed in order to describe the interaction potential energy between the foreign mols. and the matrix. Numerical procedures based on realistic but traceable models for the representation of the doped crystal structure were used in order to calc. the conformation of some aggregates inside the crystal and to prove the strong tendency for foreign mols. to agglomerate each other. The behavior can be explained of the HX monomer and dimer bands frequencies that decrease when doping with N<sub>2</sub> mols. down to a min. for a N<sub>2</sub>-rare gas ratio 60%-70% and then increase up to the HX-pure N frequencies, in terms of a symmetrization process in the conformation of the aggregates around the HX [or (HX)<sub>2</sub>] mol.

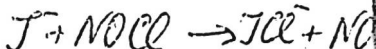
U. R. E. C.  
B. L. A. T. F. C. S. P.

C.H. 1978, 89  
xc

70419.3759

Ch, TC, MGU

96559



1977

X 4-18284

Refaey Kamel M. A., Franklin J. L.

Endoergic ion-molecule collision processes of negative ions. VI. Collisions of  $I^-$  on  $(CN)_2$  and  $NOCl$ . "Int. J. Mass Spectrom. and Ion Phys.", 1977, 23, N 1, 13-20 (англ.)

0855 РМК

820 827

? 46

ВИНИТИ

NH<sub>3</sub>OHF

[Commica 1982]

1981.

NH<sub>3</sub>OHCl

Jayassoriya U. A.  
et al.

NH<sub>3</sub>OHB<sub>r</sub>

NH<sub>3</sub>DHF

J. Chem. Soc. Faraday  
Trans. II, 1981, 77,  
287 - 98.

И. К. Радиан

старш. 6

Радиев барельеф  
бронзовый - NH<sub>3</sub><sup>+</sup>  
~~бактериальный~~

Librational and Torsional  
modes in ...

1984

$NX_3$   
 $X = hal.$

5 Б1115. Электронное строение соединений элементов V группы  $ER_3$  ( $E=N \rightarrow Sb$ ;  $R=H, Hal$ ). Сопоставление фотозелектронных спектров и расчетов методом  $CC3-X_\alpha$ . The electronic structures of the group V series  $ER_3$  ( $E=N \rightarrow Sb$ ;  $R=H, Hal$ ). An intercomparison of photoelectron spectra and  $SCC-X_\alpha$  calculations. Grodzicki Michael, Walther Horst, Elbel Susanne. «Z. Naturforsch.», 1984, B39, № 10, 1319—1330 (англ.)

С использованием источника возбуждающего излучения Не-I измерены фотозелектронные спектры (ФЭС) тригидридов и тригалогенидов элементов V группы  $ER_3$  ( $E=N \rightarrow Sg$ ;  $R=H, NaCl$ ). ФЭС интерпретированы на основе качеств.  $C_{3v}/D_{3h}$ -модели, позволяющей исследовать изменения спектра MO и распределения заряда MO при переходе от плоского фрагмента  $R_3$  к системам  $ER_3$ , симметрии к-рых соответствуют точечным группам  $D_{3h}$  и  $C_{3v}$  соотв. Исследованы тенденции изменения ФЭС вдоль изучаемых рядов, обусловленные

(46)

x. 1985, 19, N5

 $NH_3, AsH_3, SbH_3,$

замещением центрального атома или атомов R. Методом самосогласования по заряду в приближении обменного  $X_\alpha$ -потенциала (CC3- $X_\alpha$ ), а также расширенным методом Хюкеля рассчитано электронное строение и проведен анализ заселенностей MO в соединениях  $ER_3$  ( $E=N \rightarrow Sb$ ,  $R=H, Cl$ ) и  $AsR_3'$  ( $R'=H, F, Cl, Br, J$ ). Параметры метода CC3- $X_\alpha$  оптимизировались на основании известных атомных х-к, а также молек. потенциалов ионизации и дипольных моментов. Показано, что валентные электронные плотности обоих исследованных рядов  $ER_3$  имеют характеристич. тенденцию к делокализации при переходе к более тяжелым гомологам. Установлена корреляция между пр-ной волновой ф-цией  $d\psi/dr$  верхней занятой MO и жесткостью оснований (жесткость уменьшается при переходе от  $NCl_3$  к  $SbCl_3$ ).  
И. А. Тополь

$RX_3$  ( $X$ -галоген)

и.  
хар

$AsX_3$  ( $X$ -галоген)

$SbX_3$  ( $X$ -галоген)

NHXY

1985

Yabeshita Satoshi,  
Gordon Mark S.  
ab initio  
paeriu

Chem. Phys. Lett.  
1985, 117(4), 321-5.

(C<sub>60</sub>, NH<sub>2</sub>X; III)

*NH<sub>2</sub>X*

1985

103: 59643k Inversion barriers in NH<sub>2</sub>X, PH<sub>2</sub>X, NHXY, and PHXY species. Yabushita, Satoshi; Gordon, Mark S. (Dep. Chem., North Dakota State Univ., Fargo, ND 58102 USA). *Chem. Phys. Lett.* 1985, 117(4), 321-5 (Eng). Ab initio calcns. are presented on the inversion barriers in mono-substituted amines and phosphines (NH<sub>2</sub>X and PH<sub>2</sub>X) and their radical analogs. As expected, using MP3/6-31G\* energies, PH<sub>2</sub>X barriers are rather larger than those for the corresponding NH<sub>2</sub>X and electroneg. substituents increase the barriers. CN substitution causes a dramatic decrease in the NH<sub>2</sub> barrier. All of the radical N species studied are predicted to have small or zero barriers, and the radical NH<sub>2</sub>O is predicted to be planar. PH<sub>2</sub>O also has a very small barrier.

*Vusepe.*

(43)

PH<sub>2</sub>X (*Vusepe.*)

NHXY, PHXY (ab initio  
pacem)

C.A. 1985, 103, N8.

X-(N<sub>2</sub>O)<sub>2</sub>

1993

X=F, Cl, Br, I

118: 261807g Comparative study of the gas-phase bond strengths of carbon dioxide and nitrous oxide with the halide ions. Hiraoka, Kenzo; Aruga, Kazuo; Fujimaki, Susumu; Yamabe, Shinichi (Fac. Eng., Yamanashi Univ., Kofu, Japan 400). *J. Am. Soc. Mass Spectrom.* 1993, 4(1), 58-64 (Eng). Thermodyn. data,  $\Delta H_{n-1,n}^\circ$  and  $\Delta S_{n-1,n}^\circ$ , for clustering reactions of halide ions X<sup>-</sup> (X = F, Cl, Br, and I) with N<sub>2</sub>O were measured with a pulsed electron beam high-pressure mass spectrometer. In contrast to the fact that CO<sub>2</sub> forms a covalent bond with the fluoride ion to yield the fluoroformate ion, FCO<sub>2</sub><sup>-</sup>, the interaction between F<sup>-</sup> and N<sub>2</sub>O is mainly electrostatic. The cluster ions F(N<sub>2</sub>O)<sub>n</sub> complete the first shell at n = 6, thus forming an octahedral structure. The difference between F-CO<sub>2</sub><sup>-</sup> and F<sup>-</sup>...N<sub>2</sub>O is discussed in terms of Coulombic, exchange, and charge-transfer interactions. The X-(N<sub>2</sub>O)<sub>2</sub> clusters (X = Cl, Br and I) are found to be of C<sub>2h</sub> symmetry, while F-(N<sub>2</sub>O)<sub>2</sub> is of a twisted form and is slightly asym. due to a slight participation of covalency (charge transfer) in the core ion F<sup>-</sup>...N<sub>2</sub>O.

copy knyga,  
Helpme  
ciepm

C.A. 1993, 118, n 26